

422: Rastertunnelmikroskopie

Leonie Dessau & Lena Beckmann

1.-2.12.2025

1 Einleitung

1.1 Versuchsziel

Rastertunnelmikroskopie ist eine wichtige Methode, um Strukturen zu untersuchen, die mit klassischen optischen Mikroskopen nicht aufgelöst werden können. Auch eine atomare Skala der Auflösung ist dabei erreichbar [4, S. 2]. In dem Versuch wird ein Rastertunnelmikroskop (RTM) genutzt, um die Oberflächentopologie und damit die Kristallstruktur von auf Saphir oder Silizium aufgedampften Goldkugelchen und anschließend von hochgeordneten pyrolytischem Graphit (HOPG) zu untersuchen und letzteres auch auf atomarer Skala aufzulösen [4, S. 1]. Außerdem wird auch die Oberflächenstruktur von Moibdändisulfid (MoS_2) mit dem RTM untersucht.

1.2 Funktionsweise eines RTM

Rastertunnelmikroskopie nutzt das Phänomen des messbaren, ortsabhängigen Elektronenstroms (Tunnelstrom) zwischen einer elektrisch leitfähigen Oberfläche einer Probe und einer feiner Metallspitze, wenn diese in einem kleinen Abstand z über die Oberfläche bewegt wird. Dabei wird die Bewegung der Spitze über die Probe als fein über Piezokristalle gesteuerte Rasterbewegung in der x-y-Ebene vorgenommen und die Höhe $z > 0$ und der Tunnelstrom I für jeden Rasterpunkt (Pixel des entstehenden Bildes) gemessen. So können Strukturen der Probenoberfläche untersucht werden.

1.2.1 Tunnelstrom

Bei klassischer Betrachtung wird überhaupt kein Tunnelstrom erwartet, da Elektronen aus leitfähigen Materialien, mit Energien unterhalb des Betrags einer Potentialbarriere $E < V$ sich niemals innerhalb oder hinter der Barriere aufhalten können. In der quantenmechanischen Betrachtung von Elektronen als Wellenfunktion gibt es jedoch eine nichtverschwindende Wahrscheinlichkeit, dass sich ein Elektron auch im Bereich der Barriere oder dahinter aufhält.

Der resultierende Tunnelstrom ist hängt exponentiell vom Abstand ab und ist sehr empfindlich bei Änderungen in den Größenordnungen weniger Angström. Es gilt die folgende Proportionalität [2]:

$$I \propto U_T \exp(-A\Phi^{1/2}z) \quad (1.1)$$

Wobei z der Abstand von Spalte zu Probe darstellt. [geschlossene Form für Strom. ggf gerthsen S.708/709]

1.2.2 Piezoeffekt

Der Piezoeffekt beschreibt den Zusammenhang zwischen elektrischer Spannung und Verformung von Materialien mit polaren Achsen. Dieser Zusammenhang ist näherungsweise linear;

$$\Delta x = \delta U \quad (1.2)$$

Dieser Effekt ist in der Größenordnung von 10^{-11} – 10^{-9}m V^{-1} und erlaubt somit relativ einfach Positionsregelung auf atomaren Größenskalen. [3, S. 339–341]

1.2.3 Regelkreis

Der Abstand der Spalte über der Probe muss geregelt werden, damit der Abstand stets klein genug ist, damit ein messbarer Tunnelstrom fließt ohne jedoch die Probe zu berühren und so potentiell die Spalte zu zerstören.

Zu diesem Zweck wird eine PID-Schleife verwendet. Dies ist eine in der Regelungstechnik übliche Art, ein System zu regeln, so dass es sich möglichst effizient einem Sollpunkt annährt. [cite]

[macht es Sinn hier die Standardform der PID Regelgleichung hinzupacken und zu erläutern??]

Wird der Proportionalfaktor auf Null gesetzt und die Integrationszeit sehr lang gewählt, folgt die Spalte nur noch der generellen Tendenz oder

Schieflage der Oberfläche, nicht mehr aber Un-
ebenheiten. Dies entspricht dem Wechsel vom kon-
stanten Strom Modus (CCM) zum konstanten
Höhen Modus (CHM). [4]

2 Untersuchung von Gold im RTM

Um die Funktionsweise des RTM im Bereich größer der atomaren Auflösung von Graphit-Gittern zu überprüfen, wird zunächst die Oberflächentopologie einer mit Gold bedampften Silizium- oder Saphir-Probe untersucht.

2.1 Theoretische Überlegungen

2.2 Experimenteller Aufbau

Es werden zwei Goldproben mit dem RTM untersucht. Hierbei wird nicht direkt Gold untersucht, welches aufgrund seiner elektrisch relativ flachen kristallinen Struktur isoliert zu nur wenige kontrastreichen Aufnahmen führen würde [1, S. 59–60]. Stattdessen werden Proben von Silizium bzw. Saphir verwendet, auf welche Gold aufgedampft wurde [4, S. 13].

Auf der glatten Si- oder Saphir-Oberfläche sind so kleine Goldkugelchen ohne festes Muster angeordnet. Sie sollten so bei supra-atomaren Auflösungen des Mikroskops gut sichtbar sein. Eine atomare Auflösung ist bei diesen Proben auch nicht sinnvoll, da Gold, wie genannt, sehr gleichmäßige Elektronenverteilungen aufweist und so keine deutlichen Strukturen innerhalb des Kristallgitters erkennbar sein würden. Durch den Erhitzungsprozess kann allerdings damit gerechnet werden, dass die Goldkugelchen in ihrer Oberfläche stufenförmige Strukturen aufweisen anstatt vollständig glatt zu sein, allerdings ist die Ausprägung der Stufen stark von der erreichten Temperatur während des Erhitzens abhängig [1, S. 59]. Es wurden die beiden Goldproben (Probe 1: Nummer 16, Probe 2: Nummer 14) nacheinander mit dem RTF untersucht.

2.3 Messergebnisse

2.4 Auswertung

3 Highly Ordered Pyrolytic Graphite (HOPG)

[Kristallstruktur] [Bindungen zwischen Ebenen] [Messbare Elektronen]

3.1 Durchführung

Die HOPG Probe wird zunächst unter dem USB Mikroskop dokumentiert (siehe ??) [\[bild mit skala\]](#)

Anschließend wird die Probe vorbereitet in dem ein Stück Tesa Film auf die Probe geklebt und dann abgezogen wurde. Dies sorgt dafür, dass eine Frische, unverschmutzte Graphitschicht freigelegt wird. Es wird zunächst im CCM ein $200 \text{ nm} \times 200 \text{ nm}$ STM Bild 3.1 aufgenommen und eine geeignete Flache Stelle gesucht.

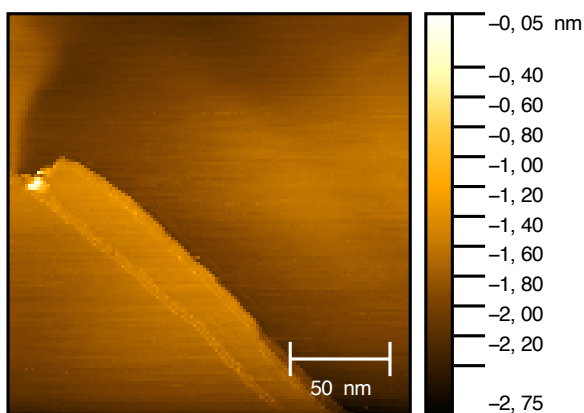


Abbildung 3.1: Übersichtsaufnahme der Graphoberfläche im konstanten Strom Modus [\[scanspeed\]](#)

In der unteren linken Hälfte der Aufnahme 3.1 fand sich eine Stufe, ansonsten wird die Oberfläche als eben identifiziert. Es wird im weiteren ein Ausschnitt in der rechten oberen Hälfte von Abbildung 3.1 genutzt. Schrittweise wird der Ausschnitt verkleinert und im CCM die Glätte des Ausschnitts verifiziert. Bei einer Größe von $4 \text{ nm} \times 4 \text{ nm}$ wird anschließend auf den konstanten Höhen Modus (CHM) gewechselt, in dem die Konstante P auf 0 und I auf 4 gesetzt werden.

Nun werden Aufnahmen mit atomarer Auflösung hergestellt (siehe 3.2).

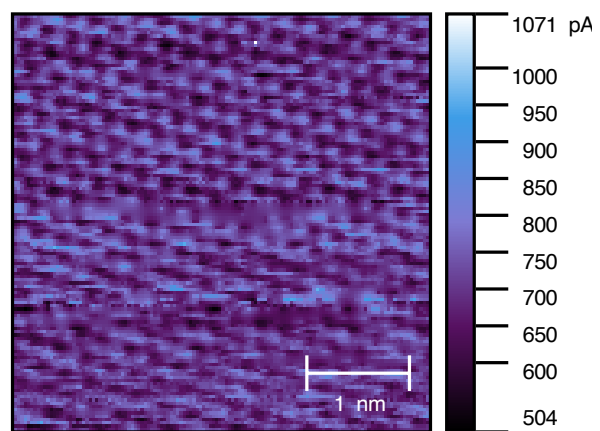


Abbildung 3.2: hopg go brr

Literatur

- [1] G. Binnig u.a. “Surface Studies by Scanning Tunneling Microscopy”. In: *Phys. Rev. Lett.* 49 (1 1982), S. 57–61. DOI: 10.1103/PhysRevLett.49.57. URL: <https://link.aps.org/doi/10.1103/PhysRevLett.49.57>.
- [2] H. Rohrer G. Binnig. “Scanning tunneling microscopy”. In: *Surface Science* 126.1 (1983), S. 236–244. DOI: [https://doi.org/10.1016/0039-6028\(83\)90716-1](https://doi.org/10.1016/0039-6028(83)90716-1).
- [3] Christian Gerthsen und Dieter Meschede. *Gerthsen Physik*. Springer, 2013. DOI: 10.1007/978-3-662-45977-5.
- [4] *Versuchsbeschreibung P422: Rastertunnelmikroskopie*. Physikalisches Institut, Universität Bonn. URL: <https://uni-bonn.sciebo.de/s/0FYPwvfOVjkYhBE> (besucht am 04.12.2025).